

149183

2-й экз.

Краткие сообщения по физике № 8 август 1973

РАЗВИТИЕ НАКЛОННЫХ ЭЛЕКТРОМАГНИТНЫХ КАСКАДОВ  
В ИОНИЗАЦИОННОМ КАЛОРИМЕТРЕ

А. Д. Ерлыкин, А. К. Куличенко

УДК 539.1.08

Экспериментально показано, что форма электромагнитного каскада в свинцовом ионизационном калориметре изменяется с углом падения на ионизационные камеры так, как если бы он через квадрупуль проходил коллинеарный пучок частиц, и это поведение справедливо вплоть до углов  $60^\circ$ .

Изучение энергетического спектра и формы каскадов, образуемых ионами высокой энергии в ионизационном калориметре со свинцовым поглотителем /1/, позволило предположить, что на развитие каскадов с энергией выше 1 Тэв значительное влияние оказывает угловое распределение частиц в каскаде. Эффект заключается в том, что значительная часть всех каскадов с  $E > 1$  Тэв имела такую форму, как если бы каскад развязывался по мере увеличения толщины свинца более быстро по сравнению с каскадами с низкой энергией. Этот эффект мог бы быть объяснен в рамках обычных представлений о развитии электромагнитных каскадов в веществе, если предположить, что с изменением наклона оси каскада ионизации в камерах из-за существования углового распределения каскадных частиц изменяется блеск, чем вес  $\theta$ . Тогда из-за того, что угловое распределение каскадов по мере увеличения энергии становится все более анизотропным /1/: их средний угол  $\theta$  увеличивается с энергией, каскады с меньшей энергией развивались бы более быстро.

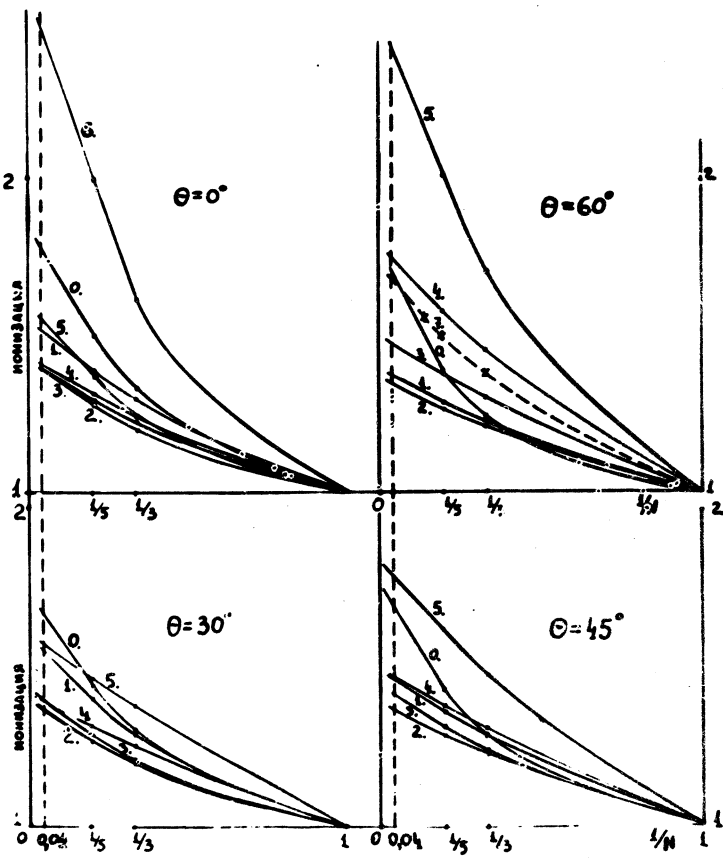
Вопрос о том, как изменяется форма электромагнитного каскада с изменением угла прохождения через камеры ионизационного калориметра, впервые исследовался в /2/. Однако, во-первых, в эксперименте /2/ использовалась короткая ионизационная камера (длинной

0,7 м), для которой могла заниматься роль частиц, идущих вдоль камеры, в формировании ионизации, во-вторых, измерения были выполнены лишь для угла  $\theta = 40^\circ$ , где эффекты отклонения от закона азес  $\theta$  скрыты ошибками измерений.

Для проверки зависимости формы электромагнитных каскадов от угла  $\theta$  нами были выполнены измерения на электронном синхротроне ФИАН. Измерения проводились для углов  $\theta$  от 0 до  $60^\circ$ . В эксперименте использовались медные ионизационные камеры прямоугольного сечения  $110 \times 55 \text{ mm}^2$  длиной 3 м. Импульс с ионизационных камер подавался на усилитель УШ-2 и затем на цифровой вольтметр В-4/6. Все показания приводились к одному коэффициенту усиления. Измерения проводились в пучке электронов с энергией 500 МэВ. Поскольку интенсивность пучка заметно меняется от цикла к циклу, все измерения нормировались к показаниям монитора, установленного на внутреннем кольце синхротрона. Каждая точка на каскадных кривых определялась как среднее по 10 измерениям, что дает точность определения ионизации  $\sim 3\%$ . Фоновый импульс, измеренный ионизационными камерами в отсутствие пучка электронов, составлял 0,8 % ионизации, измеряемой в максимуме каскадной кривой.

Ионизационные камеры помещались в полости толщиной 800 мм между поглотителем и отражателем из свинца. Полная ионизация в полости измерялась одной ионизационной камерой, перемещаемой внутри полости. Измерения проводились в четырех положениях камеры относительно оси пучка, аналогично /2/. Полученные кривые зависимости величины ионизации от числа камер  $N$  в полости показаны на рис. I в координатах  $I/N$ . Поскольку ширина одной камеры равна 12,5 см, то полная ионизация в полости размером  $3 \times 3 \text{ m}^2$  определялась для  $N = 25$  путем экстраполяции кривых к положению  $I/N = 0,04$ . Для проверки правильности экстраполяции выполнено дополнительное измерение ионизации на расстоянии 360 мм от оси пучка при угле  $\theta = 60^\circ$ . Результат, показанный на этом же рисунке пунктирной линией, подтверждает правильность нашей экстраполяции.

По экспериментальным кривым (рис. I) был построен коэффициент  $K$  перехода от ионизации, измеренной на оси пучка, к полной ионизации в полости. Зависимость этого коэффициента от толщины поглотителя  $k(t)$  для различных углов  $\theta$  показана на рис. 2. Как легко видеть из рисунка, величина  $K(t)$  практически не зависит от угла



Р и с. I. Экстраполационные кривые для различных углов  $\theta$ .

$N$  - число камер, измеренных сопротивлений.  $I = I_0$  - камера расположена на оси пучка электронов. Числа около кривых указывают толщину поглотителя: 0 - 0  $\text{g}/\text{cm}^2$ ; 1 - 4,37  $\text{g}/\text{cm}^2$ ; 2 - 8,76  $\text{g}/\text{cm}^2$ ; 3 - 13,2  $\text{g}/\text{cm}^2$ ; 4 - 26,55  $\text{g}/\text{cm}^2$ ; 5 - 40,14  $\text{g}/\text{cm}^2$ ; 6 - 76,77  $\text{g}/\text{cm}^2$ ; 7 - 17,63  $\text{g}/\text{cm}^2$ .

$\theta$  и в пределах ошибок измерения может быть аппроксимирована единой зависимостью, показанной на рисунке сплошной линией.

Измерение каскадных кривых в свинце проводилось одной ионизационной камерой, расположенной на оси пучка. Полная ионизация

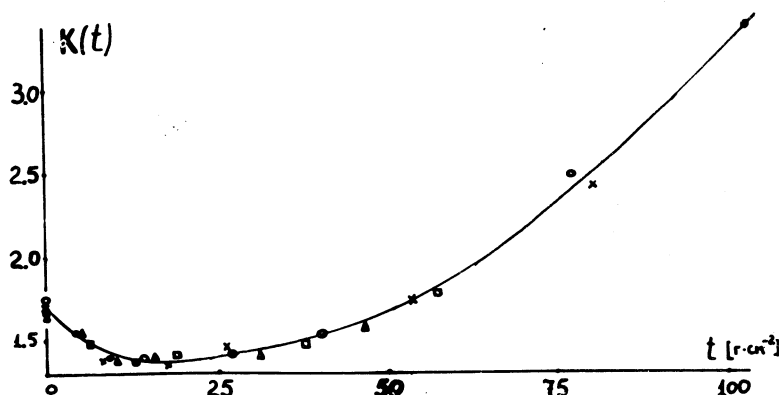
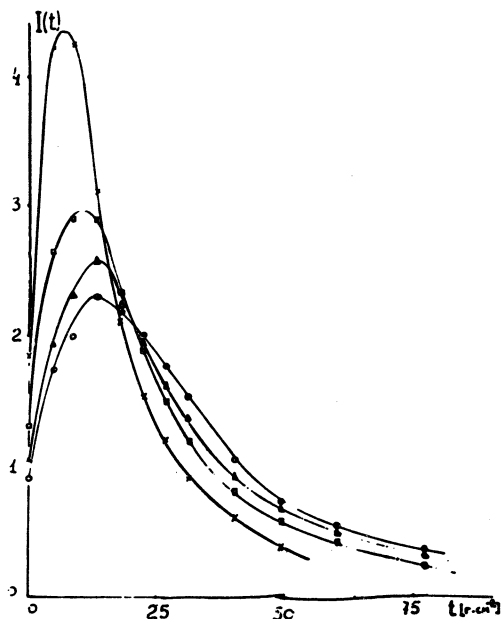


Рис. 2. Значения экстраполяционного коэффициента  $K(t)$ , измеренные для разных углов  $\theta$ :  $\circ - \theta = 0^\circ$ ;  $\Delta - \theta = 30^\circ$ ;  $\square - \theta = 45^\circ$ ;  $\times - \theta = 60^\circ$ . Сплошная линия — единая аппроксимация для всех  $\theta$

в полости определялась с помощью аппроксимационной кривой  $K(t)$ , единой для всех углов  $\theta$ . При вычислении ионизации под ~~данной~~ толщиной поглотителя и при данном угле  $\theta$  вводились поправки на фоновый импульс и на изменение величины переходного эффекта свинец — медь в зависимости от возраста каскада и толщины медных стенок ионизационных камер, согласно /2/. Результаты измерения каскадных кривых для различных углов  $\theta$  показаны на рис. 3. Анализ этих кривых показывает, что ионизация в камерах в пределах 3%-ной ошибки измерений изменяется с углом, как  $\sec \theta$  вплоть до углов  $\theta = 60^\circ$ . Форма каскадной кривой для каскадов, развивающихся под углом  $\theta$  к камера姆  $I(t, \theta)$ , совпадает с формой каскада, развивающегося в направлении, перпендикулярном камера姆  $I(t, 0^\circ)$ , если величину ионизации уменьшить, а глубину  $t$  увеличить в  $\sec \theta$  раз, т.е.  $I(t \cdot \sec \theta, \theta) = I(t, 0^\circ) \sec \theta$  (рис. 4).

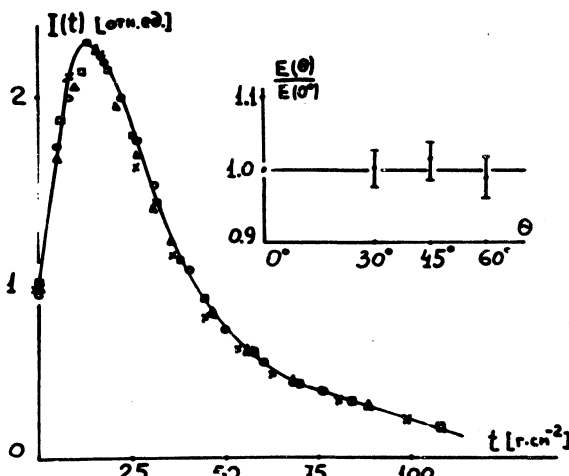
На вставке к рис. 4 показано отношение площадей под каскадными кривыми для различных  $\theta$  к площади каскадной кривой, измеренной при  $\theta = 0^\circ$ . Поскольку площадь под каскадной кривой характери-



Р и с. 3. Каскадные кривые для разных углов  $\theta$ : о —  $\theta = 0^\circ$ ;  
 $\Delta$  —  $\theta = 30^\circ$ ;  $\square$  —  $\theta = 45^\circ$ ;  $\times$  —  $\theta = 60^\circ$

зумт энергию электронов, падающих на поглотитель, по изменению данного отношения можно судить о разнице в измеренной под различными углами энергией каскада. Из рисунка видно, что это отношение практически постоянно и равно  $\approx 1$ . Отклонения не превышают 1,5% и не являются систематическими. Этот факт свидетельствует о том, что измеренная с помощью ионизационных камер энергия электромагнитного каскада не зависит от угла падения каскада на камеры. А это означает, что системы типа ионизационного калориметра правильно определяют энергию электромагнитных каскадов вплоть до углов  $\theta \sim 60^\circ$ .

Полученный результат говорит о том, что угловое распределение частиц обычных электромагнитных каскадов внутри ионизационных камер является весьма узким. Это может объясняться влиянием переход-



Р и с. 4. Приведенные каскадные кривые для разных углов  $\theta$ :  
 $\circ - \theta = 0^\circ$ ;  $\triangle - \theta = 30^\circ$ ;  $\square - \theta = 45^\circ$ ;  $\times - \theta = 60^\circ$ . На вставке – соотношение площадей под каскадными кривыми для разных углов  $\theta$ .

ного эффекта свинец – медь, который обрезает малоэнергичные электроны, идущие под углом к оси каскада и делает пучок частиц в камерах почти коллинеарным. Следовательно, для объяснения наблюдаемого в  $I/I_0$  эффекта изменения формы каскадных кривых с энергией необходимо предполагать угловое распределение частиц более широкое, чем в обычных электромагнитных каскадах.

Авторы глубоко благодарят коллектику лаборатории электронов высоких энергий, в частности, Петухову В. А., Писареву В. Е., Якименко М. Н., Александрову Ю. А. за поддержку и сотрудничество, без которых наш эксперимент не был бы осуществлен.

Поступила в редакцию  
25 мая 1973 г.

## Л и т е р а т у р а

1. А. Д. Ерлыкин, А. К. Кулниченко, С. С. Мазниченко, С. К. Мачавариани, Э. А. Мешков. Изв. АН СССР, сер. физ., 36, Г75I (1972).
2. И. Н. Фетисов. Препринт ФИАН № 88, 1968 г.